



БИООРГАНИЧЕСКАЯ ХИМИЯ

том 5 * № 9 * 1979

УДК 547.964.4.02

АМИНОКИСЛОТНАЯ ПОСЛЕДОВАТЕЛЬНОСТЬ ИНСЕКТОТОКСИНА И₂ ИЗ ЯДА СРЕДНЕАЗИАТСКОГО СКОРПИОНА *BUTHUS EUPEUS*

Гришин Е. В., Солдатова Л. Н., Солдатов Н. М.,
Костецкий П. В., Овчинников Ю. А.

Институт биоорганической химии им. М. М. Шемякина
Академии наук СССР, Москва

Из яда среднеазиатского скорпиона *Buthus eureus* выделен инсектотоксин И₂, оказывающий паралитическое действие на насекомых. Показано, что инсектотоксин состоит из 62 аминокислотных остатков с четырьмя внутримолекулярными дисульфидными связями. При помощи метода автоматической деградации определена последовательность первых 33 аминокислотных остатков. Из триптического гидролизата инсектотоксина И₂ выделено 9 пептидов и установлена их структура. Локализация трех триптических пептидов осуществлена на основании сходства с гомологичной структурой нейротоксина VI из яда скорпиона *Centruroides sculpturatus*.

Из яда скорпионов выделены полипептидные нейротоксины, замедляющие процесс натриевой инактивации нервных волокон. Эти компоненты яда служат ценным инструментом исследования молекулярных механизмов прохождения первого импульса [1, 2].

Интересным свойством нейротоксинов яда скорпионов является специфичность действия к разным классам животных. В настоящее время установлено существование нейротоксинов, селективно поражающих нервные системы теплокровных, насекомых и ракообразных [3].

Рядом авторов из яда трех различных видов скорпионов осуществлено выделение 8 инсектотоксинов, причем 4 токсина получены из яда скорпиона *Buthus eureus* [4]. Из яда североамериканского скорпиона *Centruroides sculpturatus* Ewing были выделены 3 изотоксина, обладающих паралитической активностью для насекомых [5]. Кроме того, еще один инсектотоксин был найден в яде североафриканского скорпиона *Androctonus australis* Hector [6]. Сопоставление структуры инсектотоксинов с токсинами для млекопитающих представляет несомненный интерес, так как позволяет найти структурные особенности, обуславливающие свойство видовой специфичности действия.

Ранее нами была определена аминокислотная последовательность инсектотоксина И₁ из яда скорпиона *Buthus eureus*, принадлежащего к новому структурному типу токсинов яда скорпионов [7]. Настоящая работа посвящена установлению аминокислотной последовательности инсектотоксина И₂, состоящего из 62 аминокислотных остатков с четырьмя внутримолекулярными дисульфидными связями [8] и оказывающего паралитическое действие в дозе 1 мкг на таракана *Nauphoeta cinerea* (Oliver). Кроме того, представлялось интересным провести сравнитель-

Таблица 1

Аминокислотный состав карбоксиметилированного инсектотоксина И₂
и его триптических пептидов *

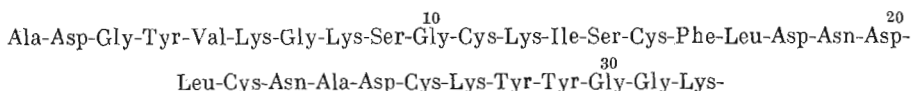
Амино-кислота	И ₂	T-1 (IX)	T-2 (XIII)	T-3 (VII)	T-4 (I)	T-5 (XVII)	T-6 (VIII)	T-7 (X)	T-8 (XVIII)	T-9 (I)
Cys(Cm)	7,11(8)	—	—	—	2,55(3)	—	0,62(2)	1,45(2)	—	0,86(1)
Asp	11,2(11)	1,27(1)	—	—	5,24(5)	—	1,98(2)	1,14(1)	0,99(1)	1,16(1)
Thr	2,05(2)	—	—	—	—	—	—	—	—	1,82(2)
Ser	5,80(6)	—	—	—	1,01(1)	—	0,83(1)	1,03(1)	1,03(1)	0,98(1)
Glu	1,21(1)	—	—	1,60(1)	—	—	—	—	—	1,14(1)
Pro	2,32(2)	—	—	—	—	—	0,79(1)	1,12(1)	—	—
Gly	7,11(7)	1,20(1)	1,34(1)	4	—	2,30(2)	—	1,30(1)	1,12(1)	—
Ala	2,09(2)	1,15(1)	—	Ser	1,12(1)	—	—	—	—	—
Val	0,97(1)	1,00(1)	—	—	—	—	—	—	—	—
Ile	2,81(3)	—	—	21,0	0,71(1)	—	1,08(1)	—	0,85(1)	—
Leu	2,95(3)	—	—	0,81(1)	1,65(2)	—	1,15(1)	—	—	—
Tyr	3,82(4)	0,80(1)	—	—	—	1,91(2)	—	0,76(1)	—	—
Phe	0,95(1)	—	—	—	0,93(1)	—	—	—	—	—
Lys	8,12(8)	0,92(1)	1,00(1)	1,01(1)	1,00(1)	1,01(1)	0,89(1)	0,88(1)	1,20(1)	—
Trp	3	—	—	—	—	—	1	1	1	—
Всего	62	6	2	—	15	5	9	9	6	6
N-Концевая	Ala	Ala	Gly	1,21(1)	Ile	Tyr	Leu	Ser	Gly	Ser
Выход, %	16,2	24,8	—	—	24,8	—	24,0	28,6	14,3	—

* В скобках указан номер фракции (рис. 1), из которой выделен пептид.

ный анализ структуры токсина И₂ и известных ранее токсинов яда скорпионов.

Для установления аминокислотной последовательности инсектотоксина И₂ предварительно проводилось восстановление его дисульфидных связей и карбоксиметилирование образовавшихся сульфгидрильных групп монодуксусной кислотой. Следует отметить, что установление структуры И₂ осложнялось ограниченностью белкового материала. Так, для всего структурного анализа было затрачено менее 1 мкмоль карбоксиметилированного токсина (СМ-токсина). Аминокислотный анализ СМ-токсина свидетельствовал о том, что модификация прошла количественно (табл. 1).

N-Концевую аминокислотную последовательность СМ-инсектотоксина И₂ определяли методом автоматической деградации. В результате была установлена последовательность первых 32 аминокислотных остатков:



Одновременно было проведено триптическое расщепление СМ-белка. Среди N-концевых аминокислот триптического гидролизата токсина И₂ были определены серин, глицин, аланин, тирозин, изолейцин и лейцин. Из результатов аминокислотного анализа токсина (табл. 1) следовало, что при данном типе гидролиза должно образоваться 9 пептидных фрагментов. Пептидная карта триптического гидролизата инсектотоксина И₂ подтвердила наличие 9 главных пептидных фрагментов.

Для разделения триптических пептидов использовали ионообменную хроматографию на катионите РА-35. При этом была получена 21 объединенная фракция (рис. 1). Для обнаружения пептидов был выбран метод Самеима [9], увеличивающий чувствительность обычной нингидринной реакции за счет образования сильно флуоресцирующего продукта конденсации нингидрина с фенилацетальдегидом и свободными аминогруппами.

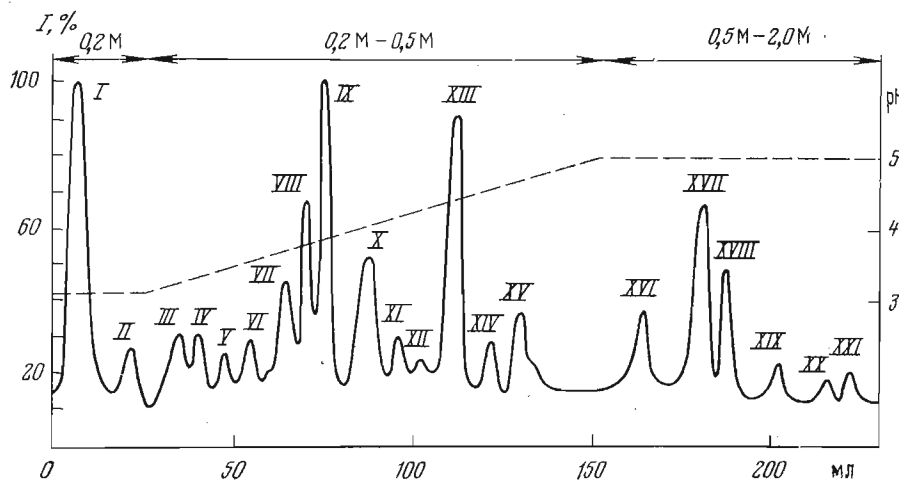


Рис. 1. Разделение триптического гидролизата инсектотоксина I_2 на катионите РА-35 (колонка $0,6 \times 25$ см) в градиенте pH и молярности пиридин-ацетатного буфера. Измерение интенсивности флуоресценции (I) проводили с возбуждением при 390 нм и эмиссией при 490 нм

На основании анализа N-концевых аминокислотных остатков и данных тонкослойной хроматографии было показано, что фракции VII, VIII, X, XIII, XVII и XVIII содержали соответственно индивидуальные пептиды T-3, T-6, T-7, T-2, T-5 и T-8 (табл. 1). При помощи реактива Эрлиха было установлено, что пептиды T-6, T-7 и T-8 содержат в своем составе остатки триптофана. Фракция I и IX представляли собой смеси пептидов и были подвергнуты разделению хроматографией на бумаге. Из фракции IX при этом был выделен индивидуальный пептид T-1 (табл. 1). Фракция I оказалась малорастворимой, поэтому для характеристики аминокислотного состава содержащихся в ней пептидов была проведена хроматография на бумаге только в аналитическом варианте. В результате из этой фракции были выделены пептиды T-4 и T-9. Остальные фракции не содержали достаточного для изучения количества пептидного материала.

Итак, из триптического гидролизата СМ-инсектотоксина I_2 было выделено 9 пептидов (табл. 1). N-Концевым, очевидно, является пептид T-1, так как только он имел общий с токсином I_2 N-концевой аминокислотный остаток — аланин. Ввиду отсутствия в структуре пептида T-9 остатка лизина был сделан вывод, что этот пептид является C-концевым. В пользу этого свидетельствует и тот факт, что карбоксипептидаза С отщепляла от инсектотоксина I_2 и пептида T-9 общую аминокислоту — карбоксиметилцистеин.

Изучение структуры триптических пептидов было проведено по методу Эдмана с идентификацией аминокислотных остатков в виде их данильных (Dns) [10] или фенилтиогидантоновых (Pth) [11] производных. Кроме того, использовали модифицированный метод Найала [12] с идентификацией фенилтиогидантонов аминокислот на полиамидных пластинах [13]. При определении C-концевой части пептидов и белка использовали карбоксипептидазу С. Таким образом, с помощью прямого метода Эдмана и некоторых его модификаций была установлена структура пептидов T-4, T-2, T-3, T-5, T-6 и T-8 (табл. 2). Для ионапептида T-7 вначале определили N-концевую последовательность первых 7 аминокислотных остатков, карбоксипептидаза С за 4 ч отщепляла: Lys (90%), Asn (78%) и Pro (43%); эти данные позволили установить для пептида T-7 однозначную структуру (табл. 2).

Структура пептида T-4 была определена по данным анализа его аминокислотного состава и N-концевого аминокислотного остатка в со-

Таблица 2

**Аминокислотная последовательность триптических пептидов
СМ-инсектотоксина И₂**

Пептид	Аминокислотная последовательность
T-1	Ala-Asp-Gly-Tyr-Val-Lys
T-2	Gly-Lys
T-3	Ser-Gly-Cys(Cm)-Lys
T-4 *	Ile-Ser-Cys(Cm)-Phe-Leu-Asp-Asn-Asp-Leu-Cys(Cm)-Asn-Ala-Asp-Cys(Cm)-Lys
T-5	Tyr-Tyr-Gly-Gly-Lys
T-6	Leu-Asn-Ser-Trp-Cys(Cm)-Ile-Pro-Asp-Lys
T-7	Ser-Gly-Tyr-Cys(Cm)-Trp-Cys(Cm)-Pro-Asn-Lys
T-8	Gly-Trp-Asn-Ser-Ile-Lys
T-9	Ser-Glu-Thr-Asn-Thr-Cys(Cm)

* Структура определена автоматическим методом.

Таблица 3

Результаты определения аминокислотной последовательности триптических пептидов Т-4 и Т-9 инсектотоксина И₂

Методы анализа	Стадии деградации					
	1	2	3	4	5	6
Постстадийная деградация смеси пептидов Т-4 и Т-9 с идентификацией Dns- и Pth-производных аминокислот	Ser Ile	Glu Ser	Thr Cys(Cm)	Asn Phe	Thr	Cys(Cm) —
Структура пептида Т-4, определенная автоматической деградацией			Ile-Ser-Cys(Cm)-Phe-Leu-Asp-Asn-Asp-Leu-Cys(Cm)-Asn-Ala-Asp-Cys(Cm)-Lys			

поставлении с N-концевой последовательностью токсина, определенной на секвенаторе (см. выше). Исходя из этого, было установлено, что фрагмент Т-4 занимает в молекуле токсина область с 13-го по 27-й аминокислотный остаток. Используя данные аминокислотной последовательности пептида Т-4, установили структуру пептида Т-9 без его отделения от Т-4 во фракции I (табл. 2). При этом использовали деградацию по методу Эдмана на смеси триптических пептидов Т-4 и Т-9 с идентификацией Dns- и Pth-производных аминокислот (табл. 3).

На основании установленной автоматическим методом N-концевой последовательности инсектотоксина И₂ оказалось возможным расположить в полипептидной цепи пять (Т-1, Т-2, Т-3, Т-4 и Т-5) из 9 выделенных и изученных триптических пептидов. С-Концевым фрагментом токсина, как отмечалось, был определен пептид Т-9.

При сравнении N-концевой последовательности инсектотоксина И₂ с изотоксинами яда скорпиона *C. sculpturatus* [5] можно выделить инвариантные аминокислотные остатки в позициях 2–6, 10, 12, 17–20, 27, 30 и 31. Это обстоятельство позволяет использовать структуры изотоксинов яда *C. sculpturatus* как матрицу для расстановки всех триптических фрагментов токсина И₂.

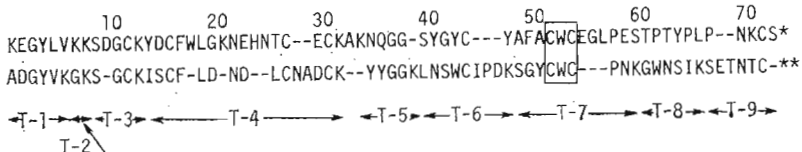
Для доказательства местоположения пептидов Т-6, Т-7 и Т-8 в полипептидной цепи мы использовали гомологию структуры этих пептидов с соответствующими участками аминокислотной последовательности нейротоксина VI из яда скорпиона *C. sculpturatus* [5]. Сходство каждой пары аминокислот (*X* и *Y*) в *i*-й позиции последовательностей сравниваемых

Таблица 4

Матрица оценок поларного сходства аминокислот [14]*

	Phe	Met	Tyr	His	Cys	Trp	Arg	Gly	Ile	Leu	Gly	Val	Ser	Pro	Thr	Ala	Gln	Asn	Lys	Asp	Glu	Glu	—
Phe	20	12	16	23	11	7	0	28	14	10	8	9	15	15	12	18	12	13	14	16	15	15	0
Met	12	16	16	20	10	10	7	6	15	10	1	8	17	18	10	11	12	12	11	12	12	12	—
Tyr	20	16	16	23	10	10	7	6	15	10	1	8	17	18	10	11	12	12	11	12	12	12	—
His	20	16	16	23	10	10	7	6	15	10	1	8	17	18	10	11	12	12	11	12	12	12	—
Cys	6	13	2	7	13	9	4	0	14	10	12	8	9	9	14	15	16	17	18	19	20	21	22
Trp	18	8	19	14	18	12	7	0	14	10	12	5	9	11	14	15	16	17	18	19	20	21	22
Arg	8	12	15	6	12	12	5	6	15	10	13	10	8	13	10	11	12	13	14	15	16	17	18
Gly	5	9	2	10	10	9	7	8	15	10	12	4	10	12	11	12	13	12	11	12	13	14	15
L-Leu	13	15	9	40	10	10	10	10	14	10	12	4	12	11	12	12	13	12	11	12	13	14	15
I-Leu	12	14	10	10	10	10	10	10	14	10	12	4	12	11	12	12	13	12	11	12	13	14	15
V-Val	10	14	7	10	12	12	5	10	14	10	12	4	12	11	12	12	13	12	11	12	13	14	15
S-Ser	8	11	6	12	12	12	5	10	14	10	13	4	12	11	12	12	13	12	11	12	13	14	15
P-Pro	6	10	3	9	12	6	11	8	15	10	13	4	12	11	12	12	13	12	11	12	13	14	15
T-Thr	9	12	6	11	12	6	11	12	14	10	12	4	12	11	12	12	13	12	11	12	13	14	15
A-Ala	8	11	5	11	11	5	13	9	14	11	9	4	12	10	11	12	13	12	11	12	13	14	15
Q-Gln	7	11	5	13	9	9	4	13	12	10	8	4	12	10	11	12	13	12	11	12	13	14	15
N-Asn	7	10	5	13	10	5	5	10	15	11	9	4	12	10	11	12	13	12	11	12	13	14	15
K-Lys	7	11	7	12	8	8	4	15	11	10	10	4	12	10	11	12	13	12	11	12	13	14	15
D-Asp	6	10	2	12	9	9	3	10	12	9	3	10	12	9	10	11	12	13	12	11	12	13	14
E-Glu	6	10	4	11	9	9	3	10	13	10	0	0	13	10	11	12	13	12	11	12	13	14	15
—	0	0	0	0	0	0	0	0	0	0	0	0	0	0	0	0	0	0	0	0	0	0	

* Символом «—» обозначена делиция; кроме трехбуквенного символа для аминокислот приведен однобуквенный код (см. Eur. J. Biochem. (1968) 5, 151—153).



* *C. sculpturatus*, ν_1

** *B. eureus*, I_2

Рис. 2. Сопоставление в однобуквенном коде аминокислотных последовательностей токсинов скорпионов VI (*C. sculpturatus*) [5] и I_2 (*B. eureus*). Символ «—» означает деление.

токсинов оценивалось положительным числом $d(X_i, Y_i) \leq 28$, являющимся элементом матрицы (табл. 4), полученной при анализе заменяемости аминокислотных остатков в структурах гомологичных белков у разных видов организмов [14]. Количественной мерой сходства участков определенной длины служила сумма $\sum d(X_i, Y_i)$ соответствующих чисел попарного сходства аминокислот.

В сравниваемых токсинах VI и I_2 присутствует трипептид Cys-Trp-Cys (CWC, рис. 2), имеющий максимальную суммарную меру сходства — 76. Для доказательства высокой значимости этого сходства использовался численный эксперимент на ЭВМ, а именно: многократно (200 раз) генерировались пары случайных последовательностей того же аминокислотного состава, что и 40–66 токсинов *B. eureus* и *C. sculpturatus*. В полученных парах сравнивались между собой все возможные трипептиды; при этом оказалось, что вероятность получения меры сходства 76 или выше случайным образом не превышает 0,005, что доказывает правильность предполагаемого местоположения пептида T-7 токсина I_2 .

Аналогичным образом была доказана значимость меры сходства 56 для трипептидов 42–44. Примененные для этого случайные последовательности имели аминокислотный состав суммы пептидов T-6 и T-8 для одной последовательности и соответствующих им участков токсина VI *C. sculpturatus* для второй последовательности. Вероятность получения меры сходства 56 случайным образом не превышает 0,02, что доказывает правильность предлагаемого местоположения для пептида T-6. Таким образом, порядок расположения рассматриваемых триптических пептидов оказался следующим: T-6—T-7—T-8.

На основании этих данных оказалось возможным полностью реконструировать полипептидную цепь инсектотоксина I_2 (рис. 3). Инсектотоксин I_2 состоит из 62 аминокислотных остатков. В его молекуле полностью отсутствует аргинин, находятся 3 остатка триптофана и 8 остатков цистеина, что при отсутствии свободных сульфидильных групп свидетельствует о наличии 4 дисульфидных связей. Интересно, что при сравнении N-кощцевой аминокислотной последовательности инсектотоксина AL из яда скорпиона *A. australis* Hector [3] со структурой I_2 можно пайти лишь некоторое подобие. По-видимому, они должны относиться к разным структурным группам.

На рис. 4 приведены в однобуквенном коде все известные в настоящее время полные аминокислотные последовательности нейротоксинов скорпионов. Указанные последовательности принадлежат к трем семействам, объединенным по признаку максимального структурного подобия [15]. При этом выделены все инвариантные аминокислотные остатки различных токсинов. Токсины *AaH1* и *AaH1'* из яда североафриканского скорпиона *Androctonus australis* Hector [16] принадлежат к 1-му семейству, токсин *AaH2* из яда того же вида скорпиона [17] и *LqqV* из яда североафриканского скорпиона *Leiurus quinquestriatus quinquestriatus* [18] относятся ко 2-му семейству, а токсин *CsEI* [19] и группа инвариантных

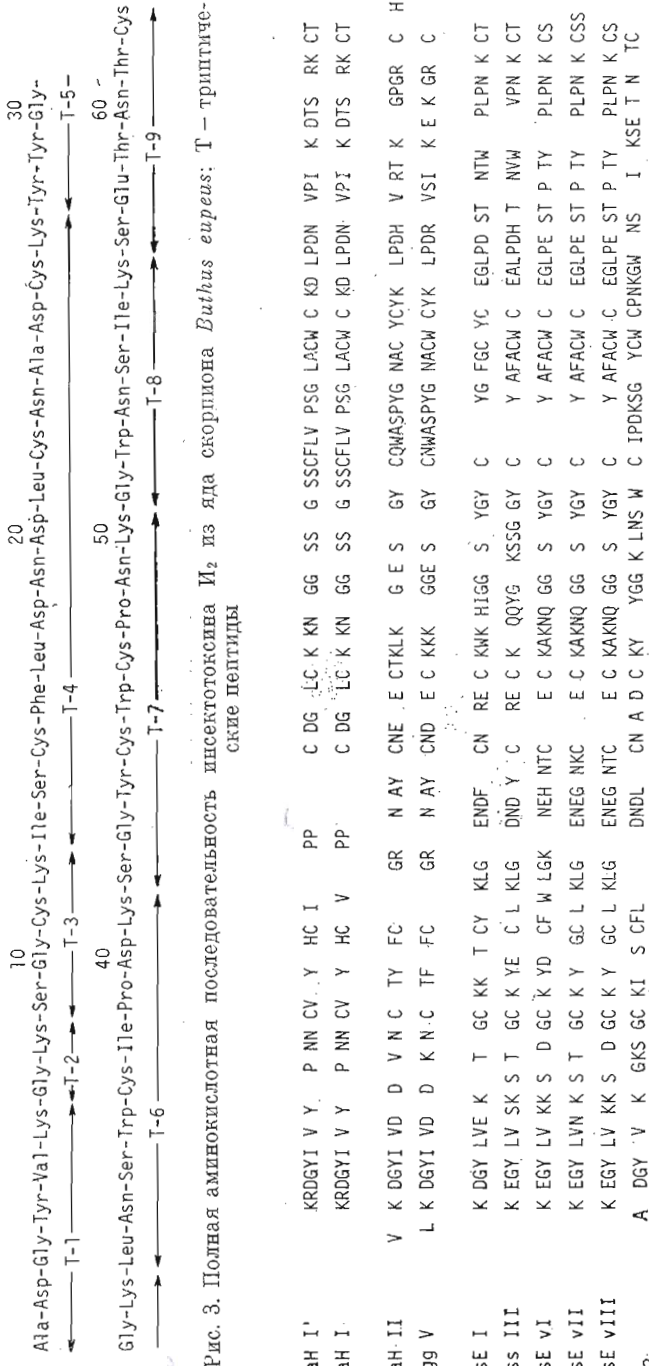


Рис. 3. Полная аминокислотная последовательность инсектоядного яда скориона *Buthus euepeus*: Т – триптические пептиды

Рис. 4. Полные аминокислотные последовательности в однобуквенном коде инсектоядина I₂ инейротоксина из ядов скorpionов [15]

токсинов *CsEvl-vIII* [5] из яда североамериканского скорпиона *C. sculpturatus* Ewing и токсин *CssIII* из яда скорпиона *C. suffusus suffusus* [20] — к 3-му семейству. В рассмотрение не включались N-концевые аминокислотные последовательности, определенные для ряда токсинов, так как эти части молекулы наиболее консервативны, в то время как основные различия наблюдаются в C-концевой области. Как уже отмечалось, инсектотоксин I_2 имеет максимальное структурное сходство с токсинами яда североамериканского скорпиона *C. sculpturatus* Ewing *CsEvl-vIII*. В первую очередь необходимо отметить практически сходные размеры полипептидных звеньев между остатками цистеинов.

В то же время различия в аминокислотной последовательности становятся более выраженным ближе к C-концевой части молекулы токсинов. Можно предположить, что различия именно в этой части структуры инсектотоксина I_2 и обуславливают его эффективное действие на насекомых, так как остальные токсины 3-го семейства одновременно токсичны по отношению к млекопитающим и насекомым.

Экспериментальная часть

Инсектотоксин I_2 выделяли как описано ранее [4].

Для ферментативного расщепления применяли трипсин (Worthington, США), карбоксипептидазу С (Ross, ФРГ). При хроматографировании использовали хроматографическую бумагу (Whatman 1, Англия), целлюлозные пластиинки (Schleicher-Schüll, ФРГ), катионообменную смолу PA-35 (Beckman, США).

Спектрофотометрические измерения при определении триптофана проводили на спектрофотометре Gilford 240 (Франция).

Инсектотоксин восстанавливали β -меркалоэтанолом и карбоксиметилировали по известной методике [21]. Аминокислотный анализ проводили на автоматическом анализаторе аминокислот D-500 (Durrum, США).

Триптический гидролиз 0,5 мкмоль СМ-инсектотоксина I_2 [8] проводили в ячейке титратора в течение 3 ч при 37°C при отношении фермент — субстрат 1:50 (по весу); pH смеси поддерживали около 8,3 с помощью 1 М водного раствора аммиака. Полученный гидролизат концентрировали на роторном испарителе и хранили при -10°C.

Пептиды триптического расщепления разделяли на хроматографической колонке, заполненной катионитом PA-35, уравновешенным 0,2 М пиридин-ацетатным буфером, pH 3,1 (стартовый) в градиенте pH и молярности пиридин-ацетатных буферов (рис. 1). Регенерация смолы, приготовление колонки, получение градиента pH и концентраций описаны ранее [8]. Условия разделения: колонка 0,6×25 см, высота столба смолы 25 см, скорость элюирования 16 мл/ч, объем фракций 1 мл; давление на колонке при 40°C составило около 14 атм. Продукты триптического гидролиза растворяли в 0,2 М пиридин-ацетатном буфере, pH 2,8, и наносили на колонку под давлением азота (1,5–2 атм). Сначала через колонку пропускали 24 мл стартового буфера. Градиент I создавали, пропуская 0,5 М пиридин-ацетатный буфер, pH 5,0, через заполненный стартовым буфером смеситель объемом 30 мл; затем в смеситель подавали 2,0 М пиридин-ацетатный буфер, pH 5,0 (градиент II). Элюирование заканчивали, пропуская через колонку 0,5 М NH₄OH в течение 2 ч. Анализ элюата осуществляли по методу Самеима [9]. Интенсивность флуоресценции измеряли на флуоресцентном спектрофотометре Hitachi MPF-3 (Япония).

Определение аминокислотной последовательности. N-Концевую аминокислотную последовательность СМ-инсектотоксина I_2 определяли на секвенторе Beckman 890C (США) с использованием стандартной медленной пептидной DMAA 071472 программы. Идентификацию Pth-производных аминокислот осуществляли на газожидкостном хроматографе Beckman GC-65 (США) и с помощью ТСХ.

Структуру пептидов устанавливали методом Эдмана по описанным ранее методикам [10, 11], а также по модифицированному методу Найала [12] с идентификацией фенилтиогидантонищов аминокислот на полиамидных пластинках [13]. Смесь триптических пептидов Т-4 и Т-9 анализировали методом Эдмана без разделения, используя данные по аминокислотной последовательности пептида Т-4 [11].

С-Концевую аминокислотную последовательность токсина и пептидов находили при помощи карбоксипептидазы С [22] и последующего анализа отщепленных аминокислот на аминокислотном анализаторе.

Для проведения соответствующих расчетов по доказательству местоположения пептидов Т-6, Т-7 и Т-8 была составлена программа на языке БЭЙСИК применительно к ЭВМ Hewlett-Packard -9830 А (США).

Авторы выражают благодарность сотруднику Института белка (г. Пущино) Л. М. Винокурову за помощь при определении N-концевой аминокислотной последовательности автоматическим методом.

ЛИТЕРАТУРА

1. Catterall W. A. (1977) J. Biol. Chem., 23, 8660—8668.
2. Можаева Г. Н., Наумов А. П., Солдатов Н. М., Гришин Е. В. (1979) Биофизика, 24, 235—241.
3. Zlotkin E. (1973) Experientia, 29, 1453—1466.
4. Гришин Е. В., Солдатов Н. М., Тащухамедов Б. А., Атакузиев Б. У. (1978) Биоорган. химия, 4, 450—461.
5. Babin D. R., Watt D. D., Goos S. M., Mlejnek R. V. (1974) Arch. Biochem. and Biophys., 164, 694—706.
6. Zlotkin E., Rochat H., Kureyan C., Miranda F., Lissitzky S. (1971) Biochimie, 53, 1073—1078.
7. Жданова Л. Н., Адамович Т. Б., Назимов И. В., Гришин Е. В., Овчинников Ю. А. (1977) Биоорган. химия, 3, 485—493.
8. Солдатова Л. Н. (1977) Канд. дис. «Структурная характеристика инсектотоксинов из яда скорпиона *Buthus eurepus*», Ин-т биоорган. химии АН СССР, М.
9. Samejima K., Dairman W., Udenfriend S. (1971) Analyt. Biochem., 42, 237—247.
10. Gray W. R. (1967) in: Methods in Enzymol., v. XI, pp. 469—475, Acad. Press, N. Y.—London.
11. Липкин В. М., Алданова Н. А., Фейгина М. Ю., Жикулина Е. В., Виноградова Е. И. (1972) Биохимия, 37, 410—413.
12. Niall H. D., Keutmann H. D., Coop D. H., Potts J. T. (1969) Proc. Nat. Acad. Sci. USA, 64, 771—778.
13. Kulbe K. D. (1974) Analyt. Biochem., 59, 564—573.
14. Barker W. C., Dayhoff M. O. (1972) in: Atlas of Protein Sequence and Structure (Dayhoff M. O., ed.), 5, 101—110.
15. Habersetzer-Rochat C., Sampieri F. (1976) Biochemistry, 15, 2254—2261.
16. Rochat H., Rochat C., Miranda F., Lissitzky S., Edman P. (1970) Eur. J. Biochem., 17, 262—266.
17. Rochat H., Rochat C., Sampieri F., Miranda F. (1972) Eur. J. Biochem., 28, 381—388.
18. Kopeyan C., Martinez G., Rochat H. (1978) FEBS Lett., 89, 54—58.
19. Babin D. R., Watt D. D., Goos S. M., Mlejnek R. V. (1975) Arch. Biochem. and Biophys., 166, 125—134.
20. Rochat H., Kopeyan C., Garcia L. G., Martinez G., Rosso J. P., Pakaris A., Martin M. F., Garcia A., Martin-Moutot N., Gregoire J., Miranda F. (1974) Commun. at the 4th International Symposium on Animal, Plant and Microbial Toxins, pp. 113—114, Tokyo.
21. Crestfield A. M., Moore S., Stein W. H. (1963) J. Biol. Chem., 238, 622—627.
22. Tschesche H., Kupfer S. (1972) Eur. J. Biochem., 26, 33—36.

Поступила в редакцию
6.IV.1979

AMINO ACID SEQUENCE OF INSECTOTOXIN I₂ FROM THE VENOM OF THE
MIDDLE-ASIAN SCORPION *Buthus eupeus*

GRISHIN E. V., SOLDATOVA L. N., SOLDATOV N. M.,
KOSTETSKY P. V., OVCHINNIKOV Yu. A.

*M. M. Shemyakin Institute of Bioorganic Chemistry,
Academy of Sciences of the USSR, Moscow*

A toxin possessing a paralytic activity towards insects has been isolated from the venom of the Middle-Asian scorpion *Buthus eupeus*. This compound, insectotoxin I₂, consists of 62 amino acid residues and contains 4 disulfide bonds. Automated Edman degradation provided a 33-residue N-terminal sequence. Nine peptides were isolated from the tryptic digest of insectotoxin I₂ and their structure was determined. The position of 3 tryptic peptides in the polypeptide chain was determined basing on the structure of a homologous neurotoxin, neurotoxin vI from the venom of the North-American scorpion *Centruroides sculpturatus*.